

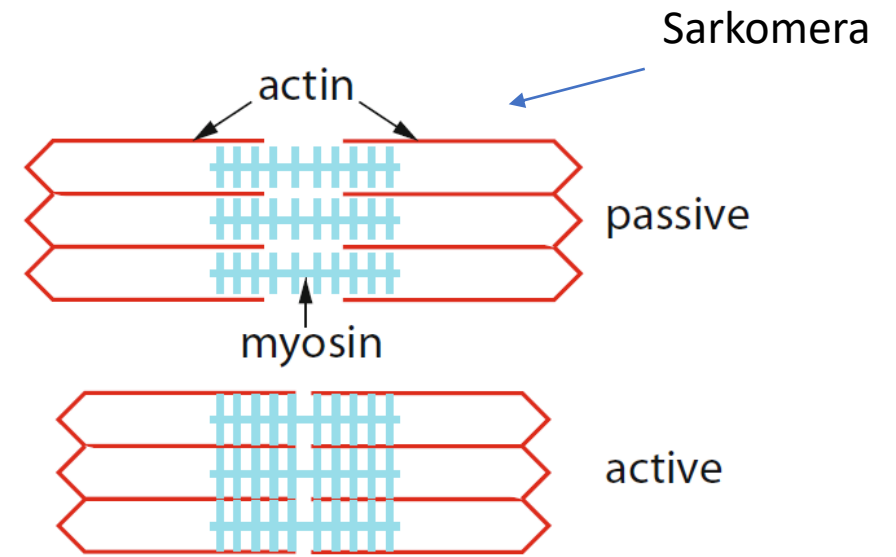
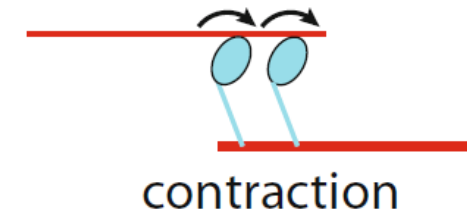
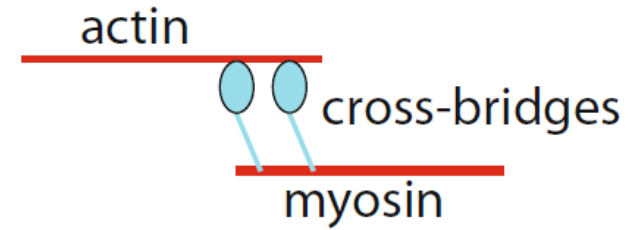
Kontrakce cév

Síly působící na biologické tkáně

- Pasivní
 - Síly vzniklé deformací spojené s přeměnou mechanické energie
- Aktivní
 - Vyžadují zdroj metabolické energie vzniklé z biochemických reakcí
 - Nejčastěji kontraktilní síly
 - Jejich modelování je fenomenologické a nezahrnuje biofyzikální vysvětlení

Kontrakce svaloviny

- **Sarkomera**
 - Základní strukturální a funkční jednotka myofibril
 - Skládá se z proteinů (aktin, myozin + další)
- **„Sliding filament theory“** – princip kontrakce
 - Myozinová hlava se naváže na aktinová filamenta (vytvoří tzv. cross-bridge)
 - Při hydrolýze ATP se myozinová hlava otočí a posune aktinový filament
 - Myozinová hlava se odpojí od aktinu a vrátí se do původní polohy a cyklus se opakuje
- Kosterní svaly jsou určeny pro velikou sílu a rychlost kontrakce → jsou uspořádné (viditelné příčné pruhování)
- Kontraktilní elementy hladké svaloviny jsou neuspořádané



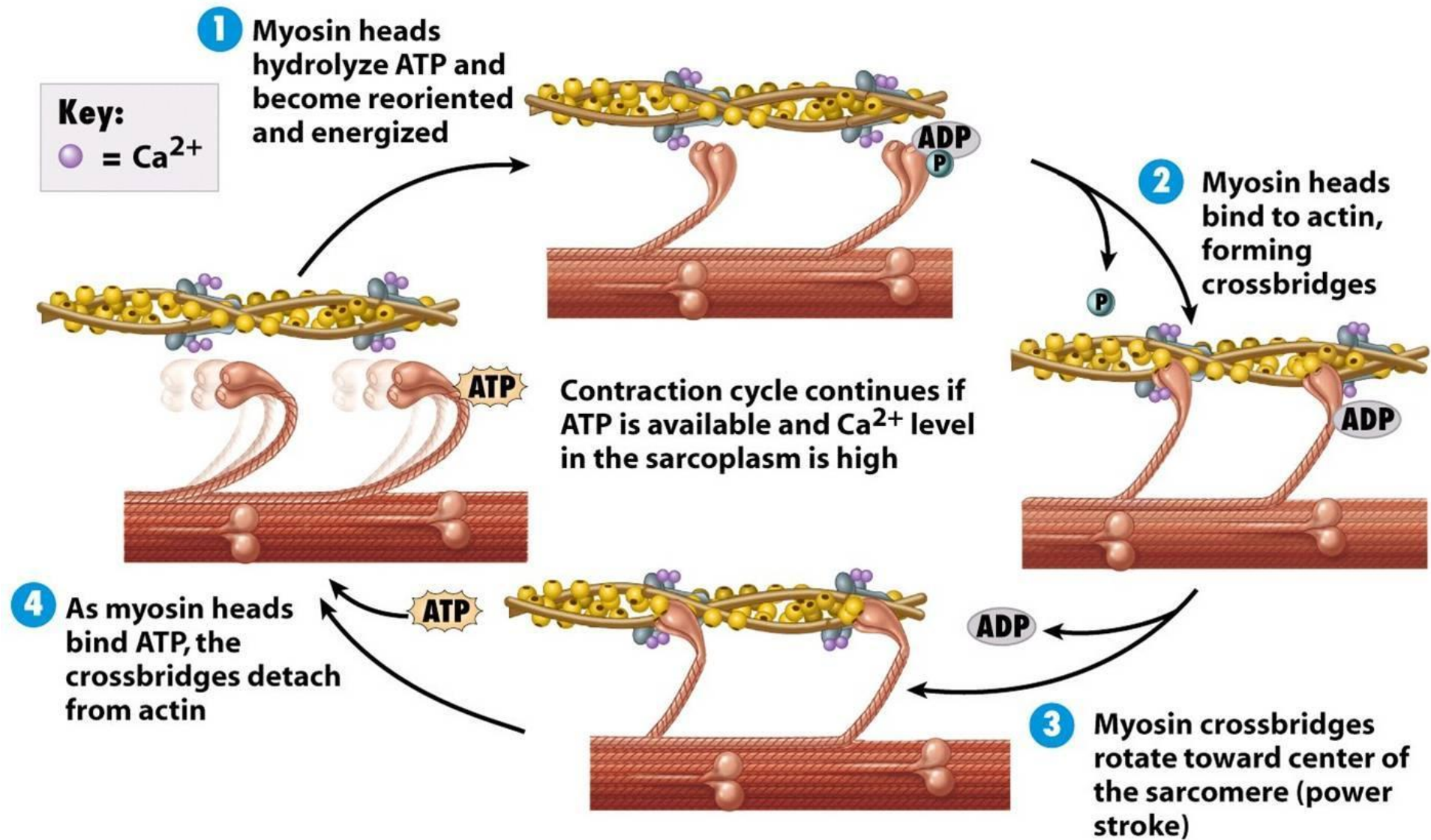
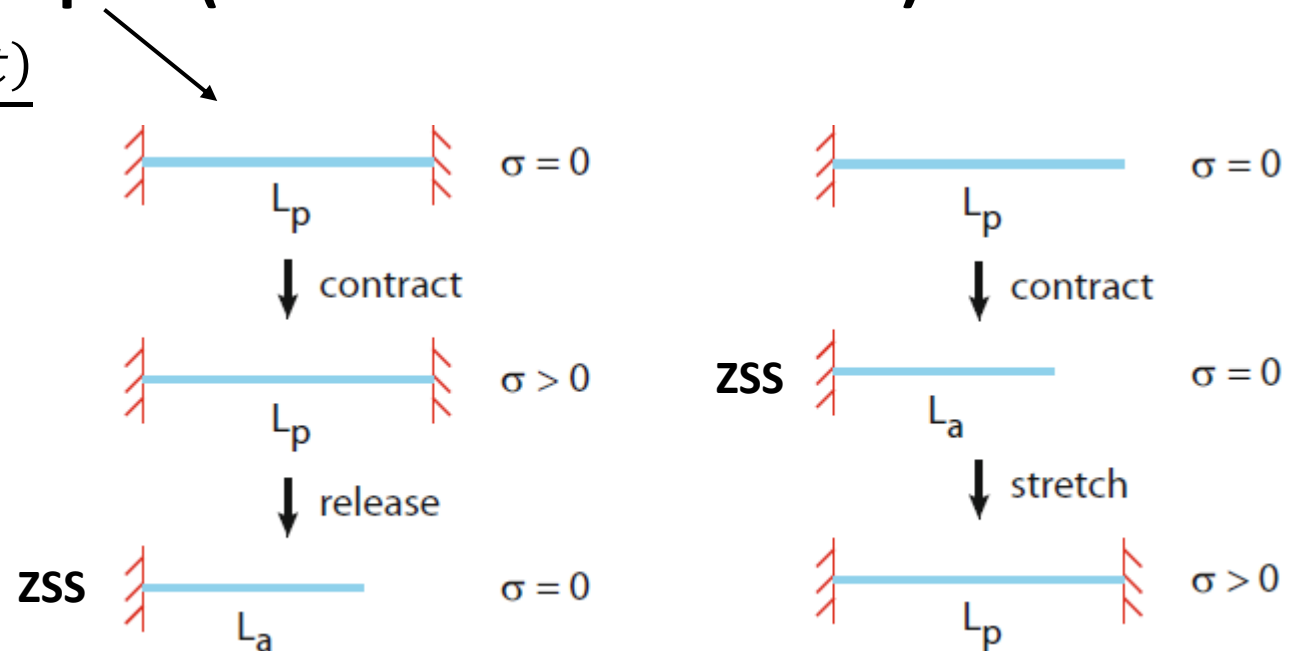


Figure 10-7 Principles of Anatomy and Physiology, 11/e
 © 2006 John Wiley & Sons

Kinematika kontrakce

- Předpoklad: aktivní kontraktilní element mění svou délku v závislosti na čase a **ve stavu nulového napětí (zero-stress state – ZSS)**
- Míra kontrakce $\rightarrow K(t) = \frac{L_a(t)}{L_p}$
- Kontrakce \neq zkrácení



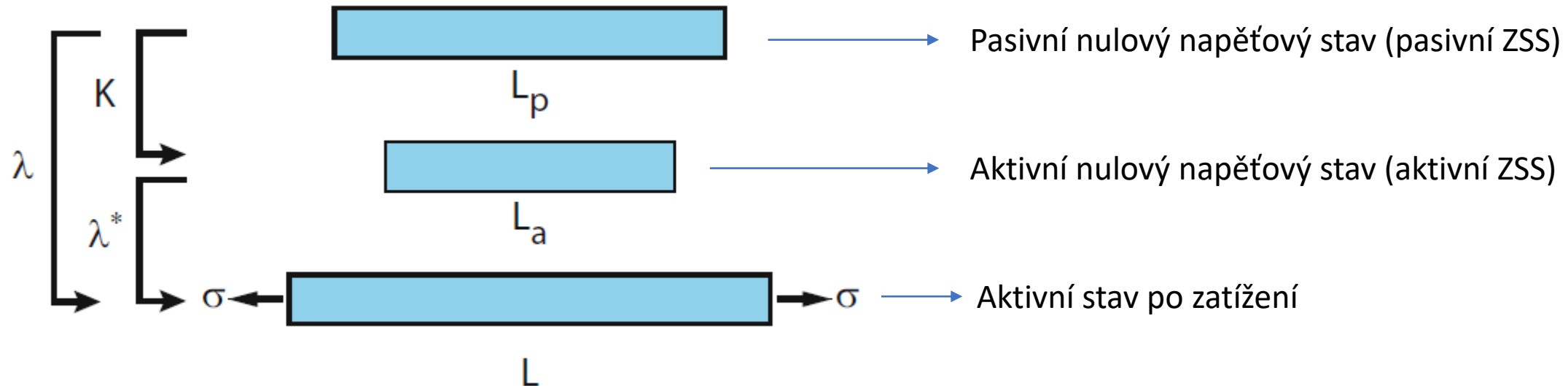
Konfigurace kontraktálního elementu

$$\lambda = K\lambda^*$$

- $K = \frac{L_a}{L_p}$ míra kontrakce

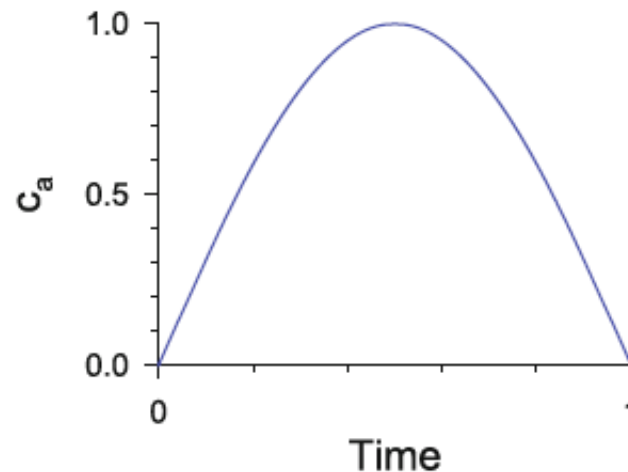
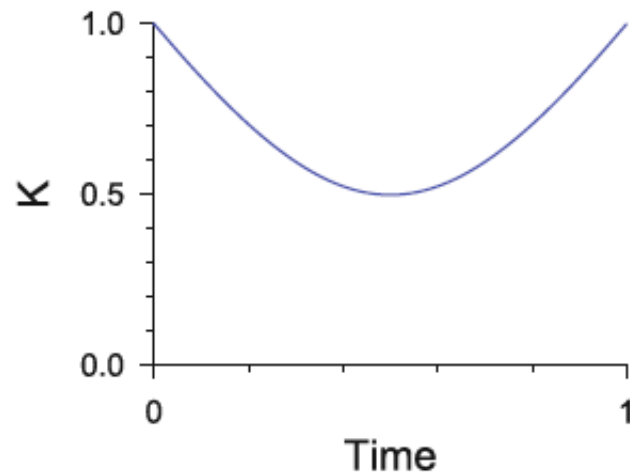
- $\lambda^* = \frac{L}{L_a}$ elastická míra streče (vzhledem k aktivnímu ZSS)

- $\lambda = \frac{L}{L_p}$ celková míra streče (vzhledem k pasivnímu ZSS)



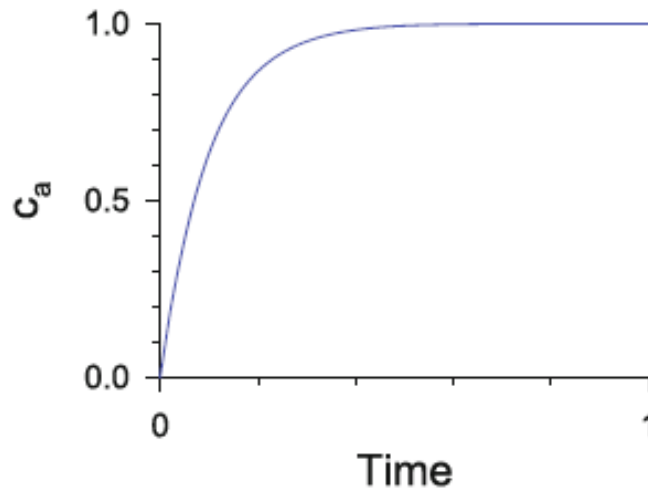
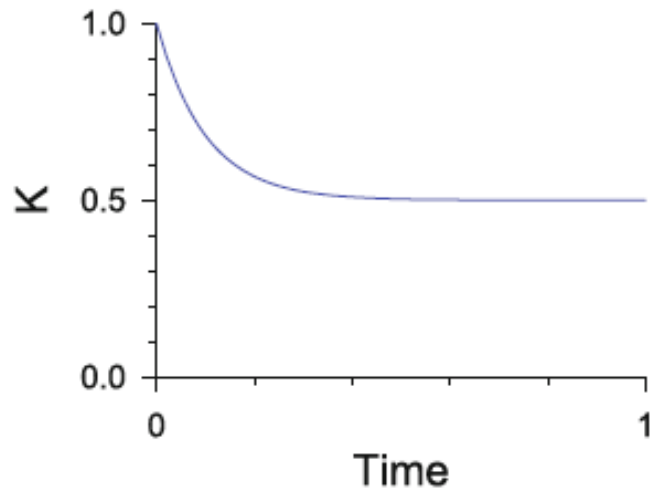
Míra kontrakce – rytmický popis

- aproximace rytmického stahování svalu
- Srdeční svalstvo, hladké svalstvo ve střevech (umožňuje pohyb tráveniny)
- $K(t) = 1 - (1 - K_{min}) \sin(\frac{\pi t}{T})$
- C_a ... aktivní modul pružnosti



Míra kontrakce – exponenciální popis

- Aproximace kontrakce do určité hladiny
- Typické pro cévy (regulace proudění krve)
- $K(t) = 1 - (1 - K_{min})(1 - e^{-\alpha t})$



Model kontraktálního vlákna

- Odvozeno ze „směšovacího pravidla“ kompozitů
- Kontraktální element obsahuje aktivní a pasivní složku
- $\phi_p = \frac{dv_p}{dv}$ $\phi_a = \frac{dv_a}{dv}$
- dv ... objem celku, dv_p ... objem pasivní složky , dv_a ... objem aktivní složky
- $\phi_p + \phi_a = 1$

Model kontraktlního vlákna

$$\lambda = \frac{L}{L_p}$$

$$\lambda^* = \frac{\lambda}{K}$$

- Cauchy stress

$$\sigma = \phi_p \sigma_p(\lambda) + \phi_a \sigma_a(\lambda^*)$$

- $J=1$... můžeme použít princip Lagrangeova multiplikátoru p (týká se pouze pasivní složky)

$$\sigma_p = \overline{\sigma_p} - \frac{p}{\phi_p}$$

- Po dosazení do směšovacího pravidla dostáváme

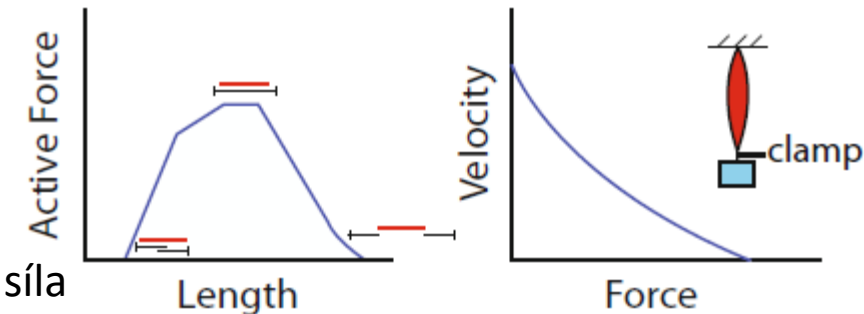
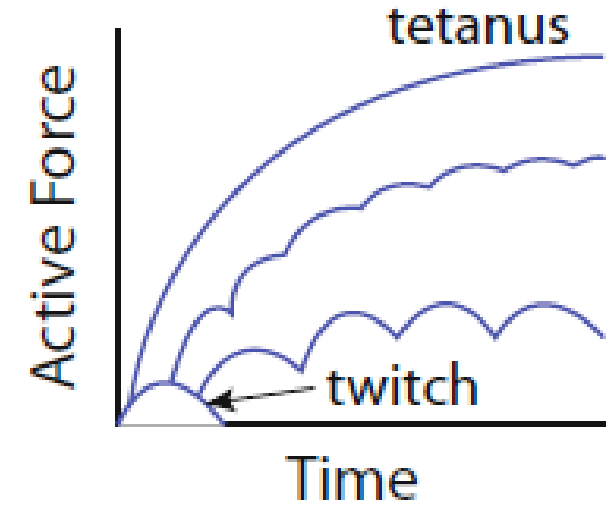
$$\sigma = \phi_p \overline{\sigma_p} + \phi_a \sigma_a - p$$

$$\overline{\sigma_p} = \lambda \frac{\partial W_p(\lambda)}{\partial \lambda}$$

$$\sigma_a = \lambda^* \frac{\partial W_a(\lambda^*)}{\partial \lambda^*}$$

Aktivní složka kontrakce

- Stimulace svalu -> stah (twitch)
- Série stahů ve vysoké frekvenci -> tetanický stah
- Srdeční sval je schopen pouze oddělených stahů
- Hladké svalstvo umožňuje stah, sérii stahů nebo souvislou kontrakci
 - Arterioly – regulace proudění krve
 - Peristaltické pohyby střev pro průchod tráveniny
- Sval je závislý na rychlosti kontrakce a na délce svalu



Hillova rovnice (a a b jsou konstanty)

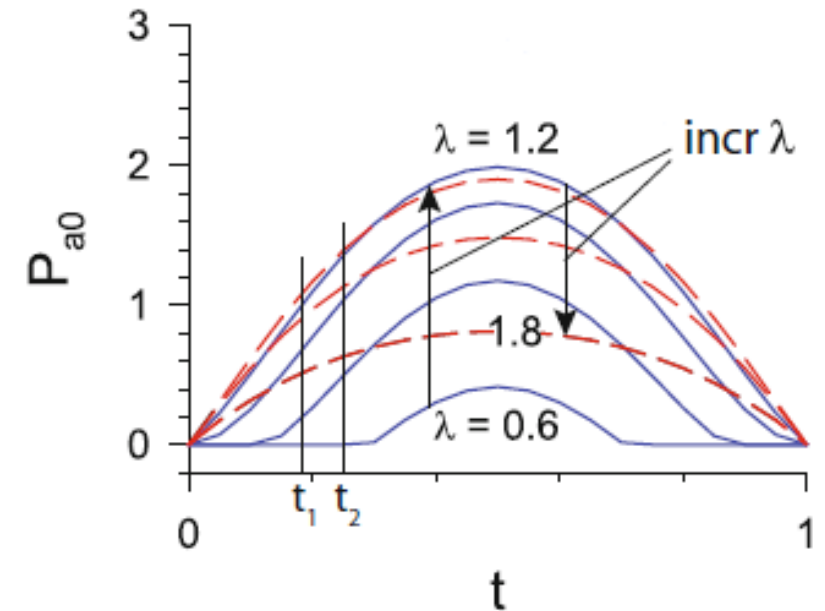
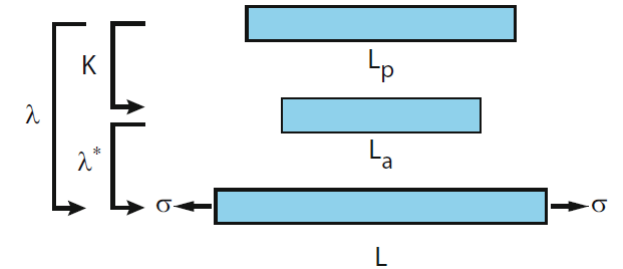
$$\text{Rychlost svalu} \rightarrow (v + b)(f + a) = b(f_{\text{max}} + a)$$

Labels above the equation: 'Rychlost svalu' points to v , 'Síla svalu' points to f , and 'Max. izom. síla' points to f_{max} .

Časově proměnná elasticita

- pozorování ukázalo, že kontraktilní vlákno při kontrakci zvyšuje svou tuhost
- Závisí na poměru kontrakce K
- Stah při izometrické kontrakci (při různých hodnotách streče)
 - $K_{\min} = 0.5$
 - Při zvyšujícím se λ se $P_{a0, \max}$ zvyšuje do jisté meze (modré křivky)
 - Po překročení meze se $P_{a0, \max}$ zmenšuje (červené křivky)

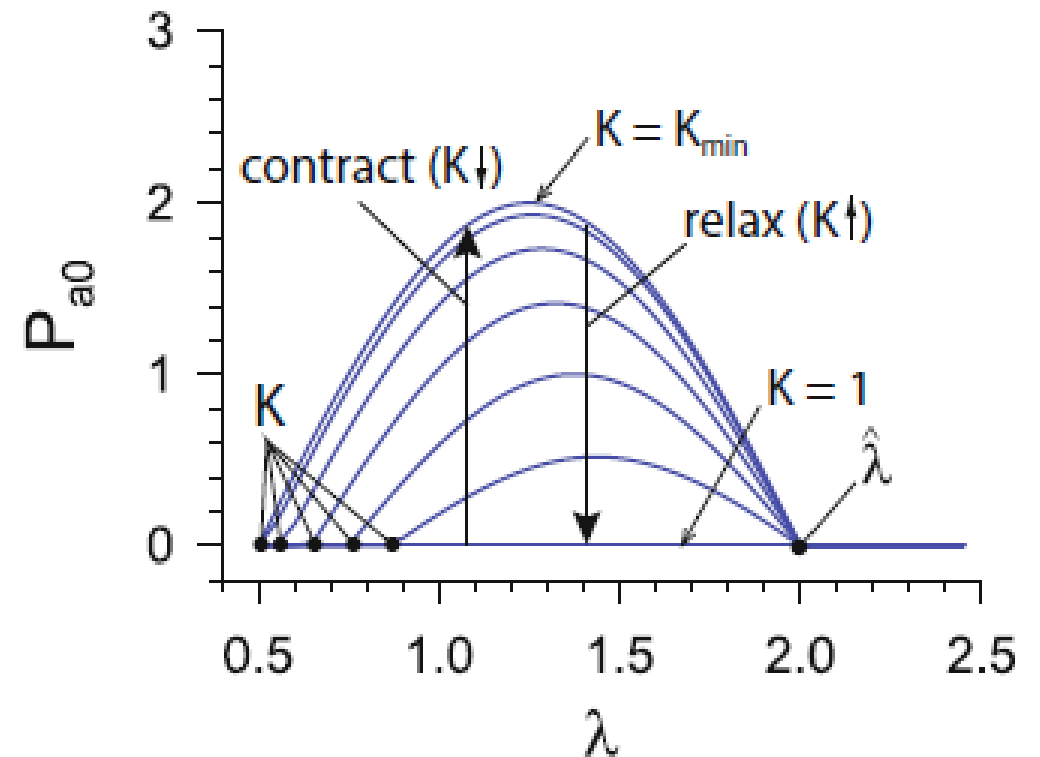
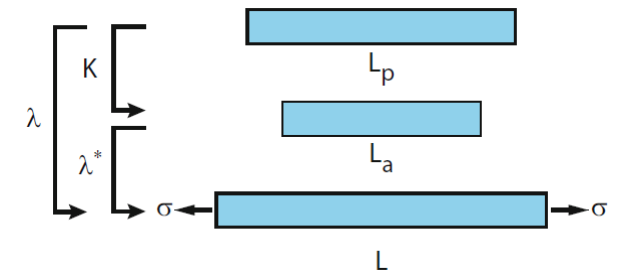
$$\lambda = \frac{L}{L_p}$$



P_{a0} ... „aktivní“ smluvní napětí

Časově proměnná elasticita

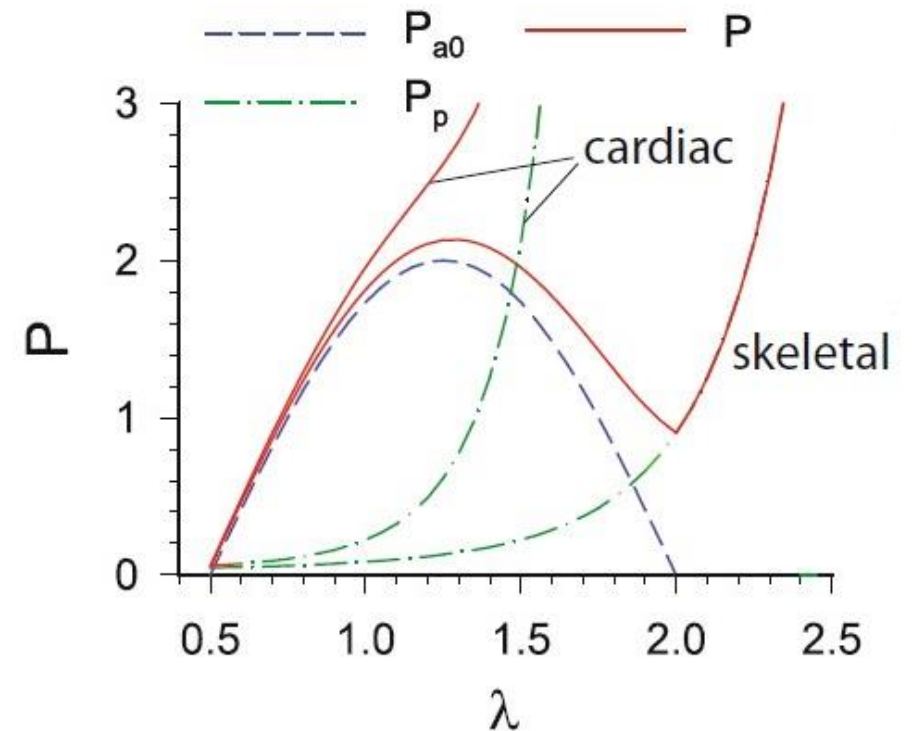
- Natahování vlákna při různých hodnotách kontrakce
 - nejprve se díky kontrakci vlákno stáhne na aktivní ZSS (kde je $P_{a0}=0$)
 - poté se vlákno natahuje a měří se se P_{a0} v závislosti na streči λ
 - $\hat{\lambda}$... „overstretch“ (po překročení této hodnoty je aktivní napětí nulové)
 - U grafů je zřejmá závislost délky a napětí svalu



P_{a0} ... „aktivní“ smluvní napětí

Pasivní složka kontrakce

- Závislost napětí-délka svalu aktivní složky je podobná u všech typů svalstva (kosterní, hladké, srdeční)
- Pasivní složka se s typem svalu mění
- Pasivní síla u srdečního svalstva zabraňuje svalu přílišné roztažení -> srdeční sval se při diastole roztáhne „pouze“ na úroveň své optimální délky -> při systole je poté schopen konat největší sílu
- U kosterního svalstva nemá pasivní složka tak významnou roli



P_{a0} ... „aktivní“ napětí

P_p ... „pasivní“ napětí

P ... celkové napětí

Konstitutivní vztahy kontraktibilního elementu

- Konst. vztahy kontr. elementu musí splňovat následující předpoklady
 - napětí v pasivním stavu ($K=0$) je nulové
 - v aktivním stavu ($0 < K < 1$) je napjatost zhruba 1D a závisí na poměru streče $\lambda^* = \lambda/K$ (pro $\lambda^* = 1$ je $\sigma_a = 0$)
 - Při izometrické kontrakci aktivní napětí stoupá ke svému maximu a poté klesá k nule
 - Se zvyšující se kontrakcí (K se zmenšuje) se zvyšuje tuhost
 - Rychlost kontrakce klesá se zvyšujícím se napětí
- Hustota deformační energie se konstruuje na základě prvních čtyř kritérií, poté se dosadí do Hillova modelu

Výpočtový model

$\hat{\lambda}^*$... “overstretch” (hranice, kde je napětí opět nulové)

$$W_a = \begin{cases} \frac{c_a(t)}{\pi} \left[1 - \cos \pi \left(\frac{\lambda^* - 1}{\hat{\lambda}^* - 1} \right) \right], & 1 \leq \lambda^* \leq \hat{\lambda}^* \\ 0, & \lambda^* < 1 \text{ and } \lambda^* > \hat{\lambda}^* \end{cases}$$

$$\lambda^* = \lambda/K$$

Časově proměnný aktivní modul ($c_{a,max}$ je zjištěno experimentálně)

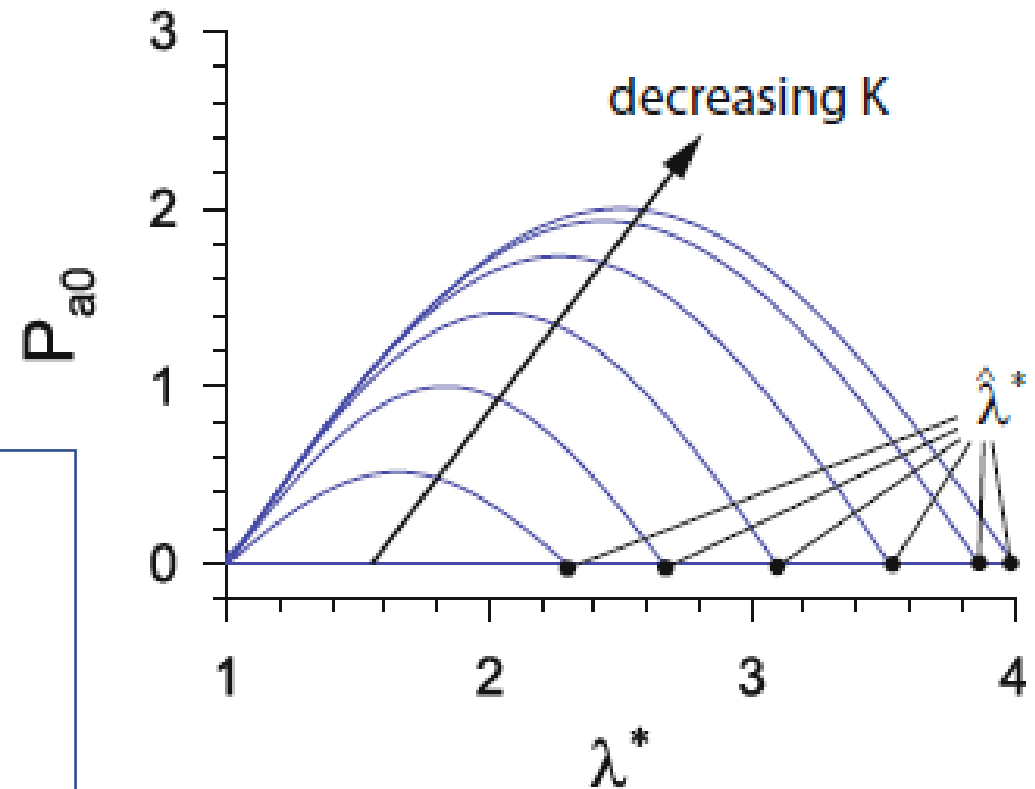
$$c_a = \left[\frac{1 - K(t)}{1 - K_{min}} \right] c_{a,max}$$

$$P_{a0} = \frac{\partial W_a}{\partial \lambda} = \frac{\partial W_a}{\partial \lambda^*} \frac{\partial \lambda^*}{\partial \lambda} = \begin{cases} c_a(t) K^{-1} \sin \pi \left(\frac{\lambda^* - 1}{\hat{\lambda}^* - 1} \right), & 1 \leq \lambda^* \leq \hat{\lambda}^* \\ 0, & \lambda^* < 1 \text{ and } \lambda^* > \hat{\lambda}^* \end{cases}$$

Pro zahrnutí efektu rychlosti kontrakce dosadíme do Hillovovy rovnice

$$(-\dot{\lambda} + b)(P_a + a) = b(P_{a0} + a)$$

Dostáváme \longrightarrow
$$P_a(\lambda, \dot{\lambda}, t) = \frac{P_{a0}(\lambda, t) + a\dot{\lambda}/b}{1 - \dot{\lambda}/b}$$



P_{a0} ... „aktivní“ smluvní napětí

Příklad tlakování cévy s aktivní složkou

- Levá krkavice
- Parametry cévy
 - $c_0 = 11,23 \text{ kPa}$, $c_{11} = 6,12 \text{ kPa}$, $c_{12} = 14,17 \text{ kPa}$, $c_{22} = 6,61 \text{ kPa}$, $c_{31} = c_{41} = 9,27 \text{ kPa}$, $c_{32} = c_{42} = 16,16 \text{ kPa}$
 - $R = 3,44 \text{ mm}$, $H = 0,32 \text{ mm}$, $\gamma = 42,71^\circ$
 - $Ca_{max} = 40 \text{ kPa}$
 - $\phi_a = 0,4$; $\phi_p = 0,6$

$$W(\mathbf{C}, \mathbf{M}^i) = \frac{c_0}{2} (I_C - 3) + \sum_{i=1}^4 \frac{c_1^i}{4c_2^i} \left\{ \exp \left[c_2^i (I_4^i - 1)^2 \right] - 1 \right\}$$

$$I_4^1 = \lambda_z^2, \quad I_4^2 = \lambda_\theta^2, \quad I_4^{3,4} = \lambda_z^2 \cos^2 \gamma + \lambda_\theta^2 \sin^2 \gamma$$

Model pro W_p

Model pro W_a

$$W_a = c_a(t) (\lambda_\theta^* - 1)^2$$

$$c_a = \left[\frac{1 - K(t)}{1 - K_{\min}} \right] c_{a, \max} \quad \lambda_\theta^* = \frac{\lambda_\theta}{K}$$

$$K(t) = 1 - (1 - K_{\min}) (1 - e^{-\alpha t})$$

Příklad tlakování cévy s aktivní složkou

- Model tenkostěnné nádoby

$$W_a = c_a(t) (\lambda_\theta^* - 1)^2$$

$$W_p(\mathbf{C}, \mathbf{M}^i) = \frac{c_0}{2} (I_C - 3) + \sum_{i=1}^4 \frac{c_1^i}{4c_2^i} \left\{ \exp \left[c_2^i (I_4^i - 1)^2 \right] - 1 \right\}$$

$$\sigma_r = \phi_p \lambda_r \frac{\partial W_p}{\partial \lambda_r} - p$$

$$\sigma_\theta = \phi_p \lambda_\theta \frac{\partial W_p}{\partial \lambda_\theta} + \phi_a \lambda_\theta^* \frac{\partial W_a}{\partial \lambda_\theta^*} - p$$

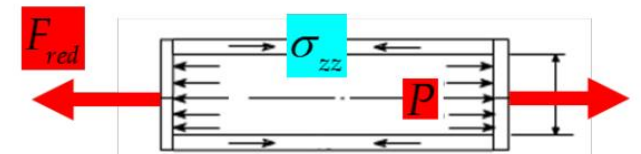
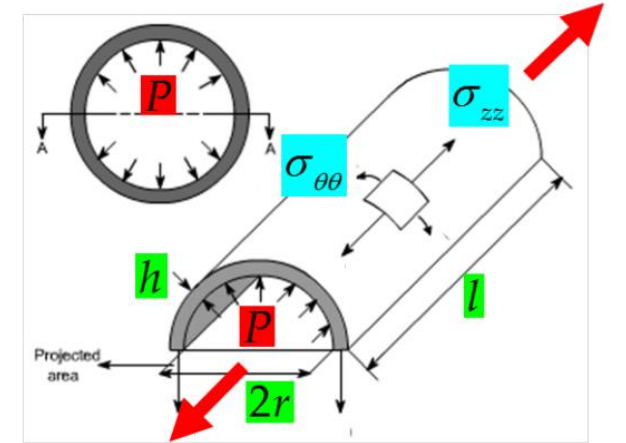
$$\sigma_z = \phi_p \lambda_z \frac{\partial W_p}{\partial \lambda_z} - p$$

Silová rovnováha

$$\sigma_{\theta\theta} = \frac{rP}{h}$$

$$\sigma_{zz} = \frac{F_{red}}{2\pi rh} + \frac{rP}{2h}$$

$$\sigma_{rr} = 0$$



$$\mathbf{F} = \begin{pmatrix} \lambda_{rR} & 0 & 0 \\ 0 & \lambda_{\theta\theta} & 0 \\ 0 & 0 & \lambda_{zz} \end{pmatrix} = \begin{pmatrix} \frac{h}{H} & 0 & 0 \\ 0 & \frac{r}{R} & 0 \\ 0 & 0 & \frac{z}{Z} \end{pmatrix}$$

$$h = \lambda_{rR} H$$

$$r = \lambda_{\theta\theta} R$$

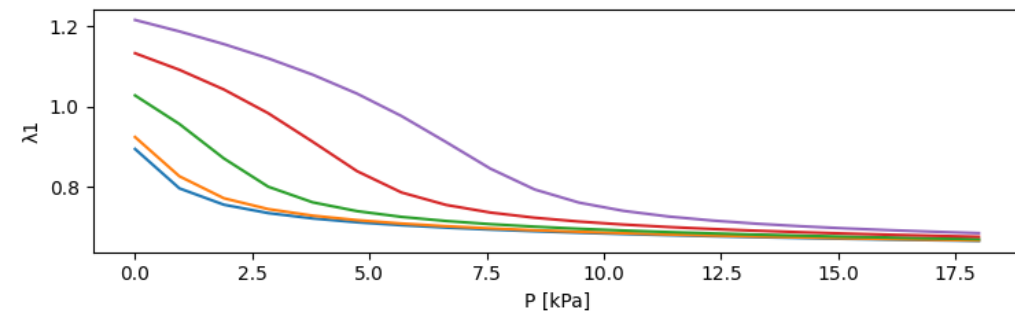
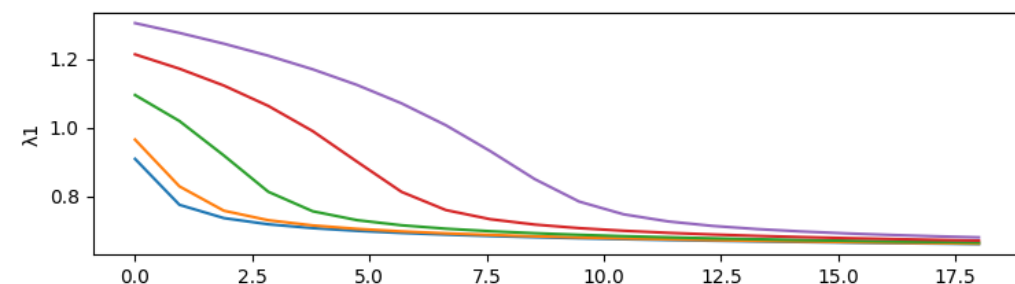
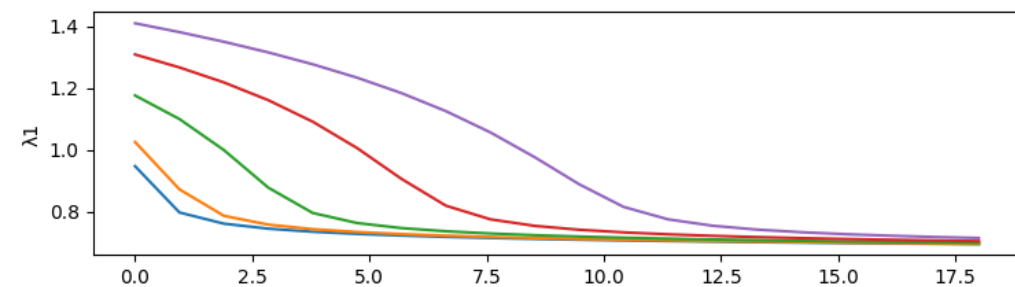
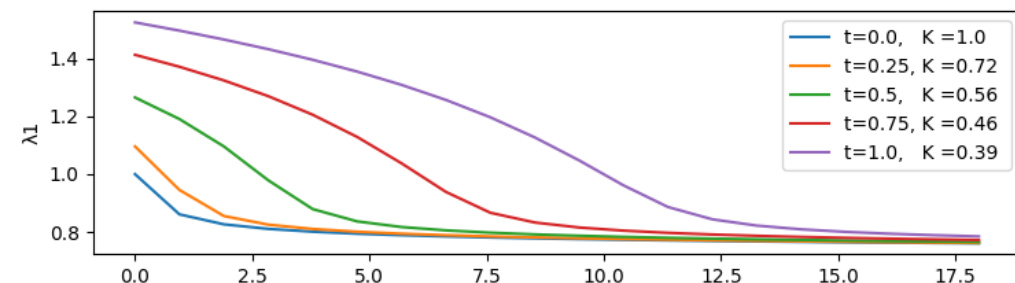
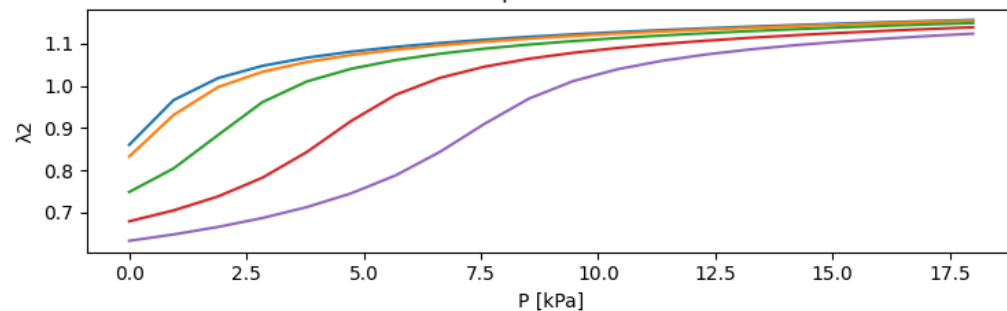
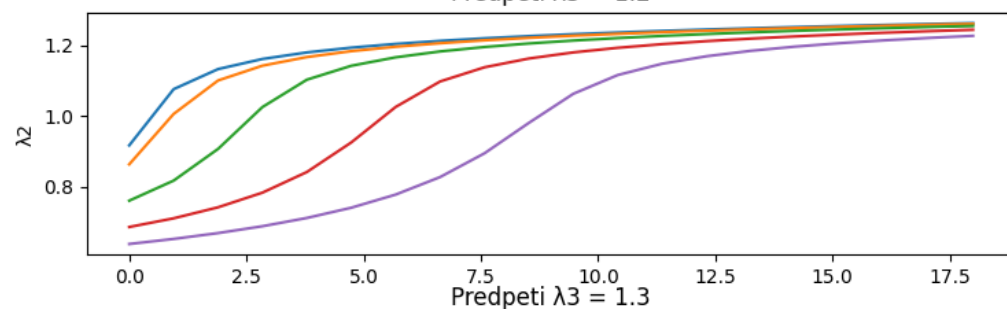
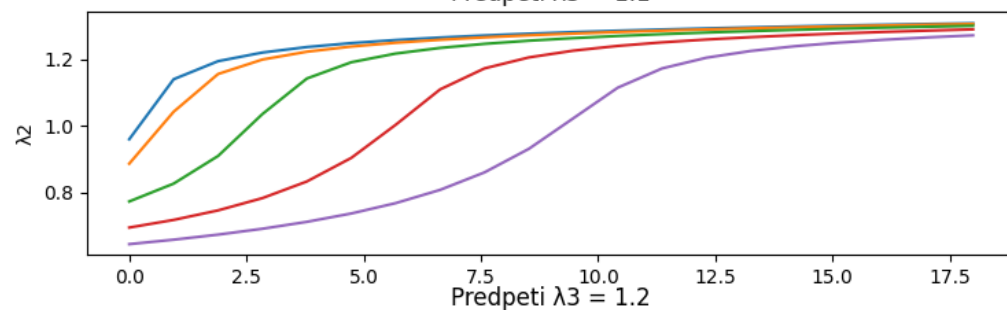
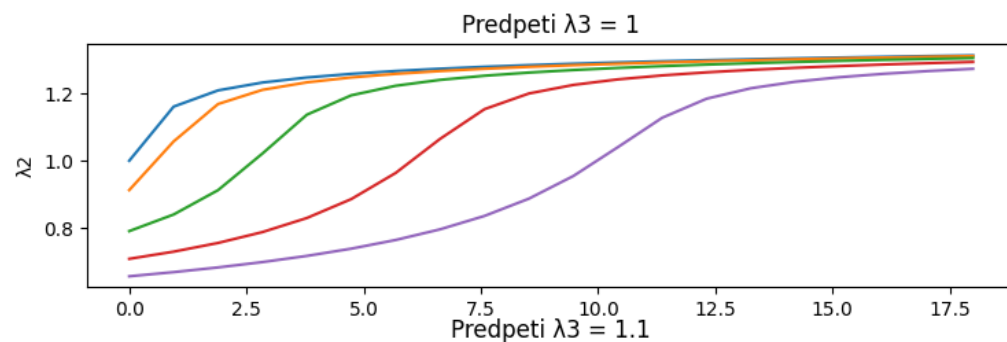
$$z = \lambda_{zz} Z$$

Tlakování od
0 do 18kPa
při
konstantních
hodnotách K

$$\lambda_1 = \lambda_r$$

$$\lambda_2 = \lambda_\theta$$

$$\lambda_3 = \lambda_z$$



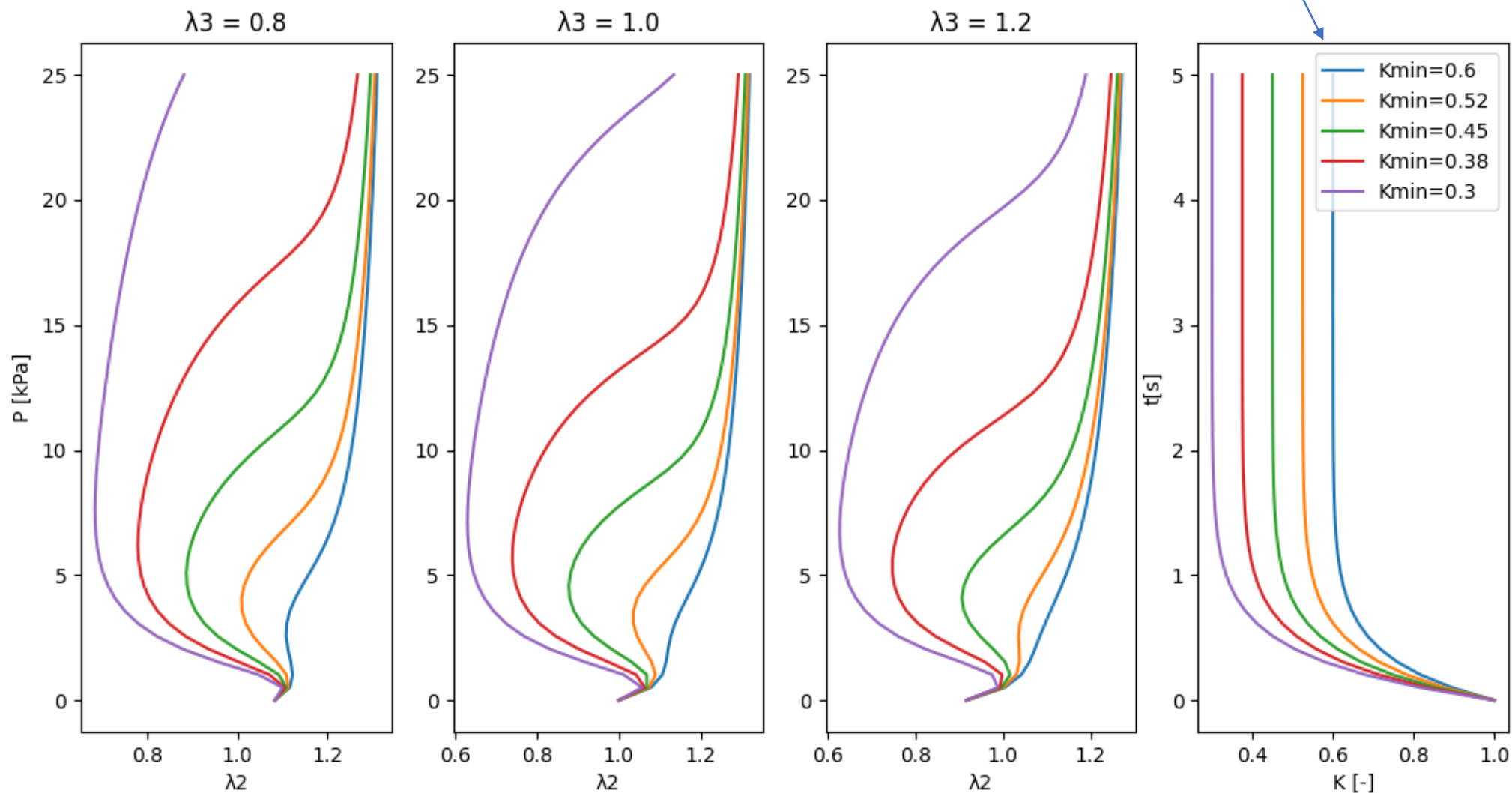
Tlakování od 0
do 25 kPa za 5s

$$\lambda_2 = \lambda_\theta$$

$$\lambda_3 = \lambda_z$$

Tlakovani v case pro ruzna Kmin a predpeti λ_3 ($P=t/t_{\max} \cdot 25$) [kPa]

$$K(t) = 1 - (1 - K_{\min})(1 - e^{-at})$$



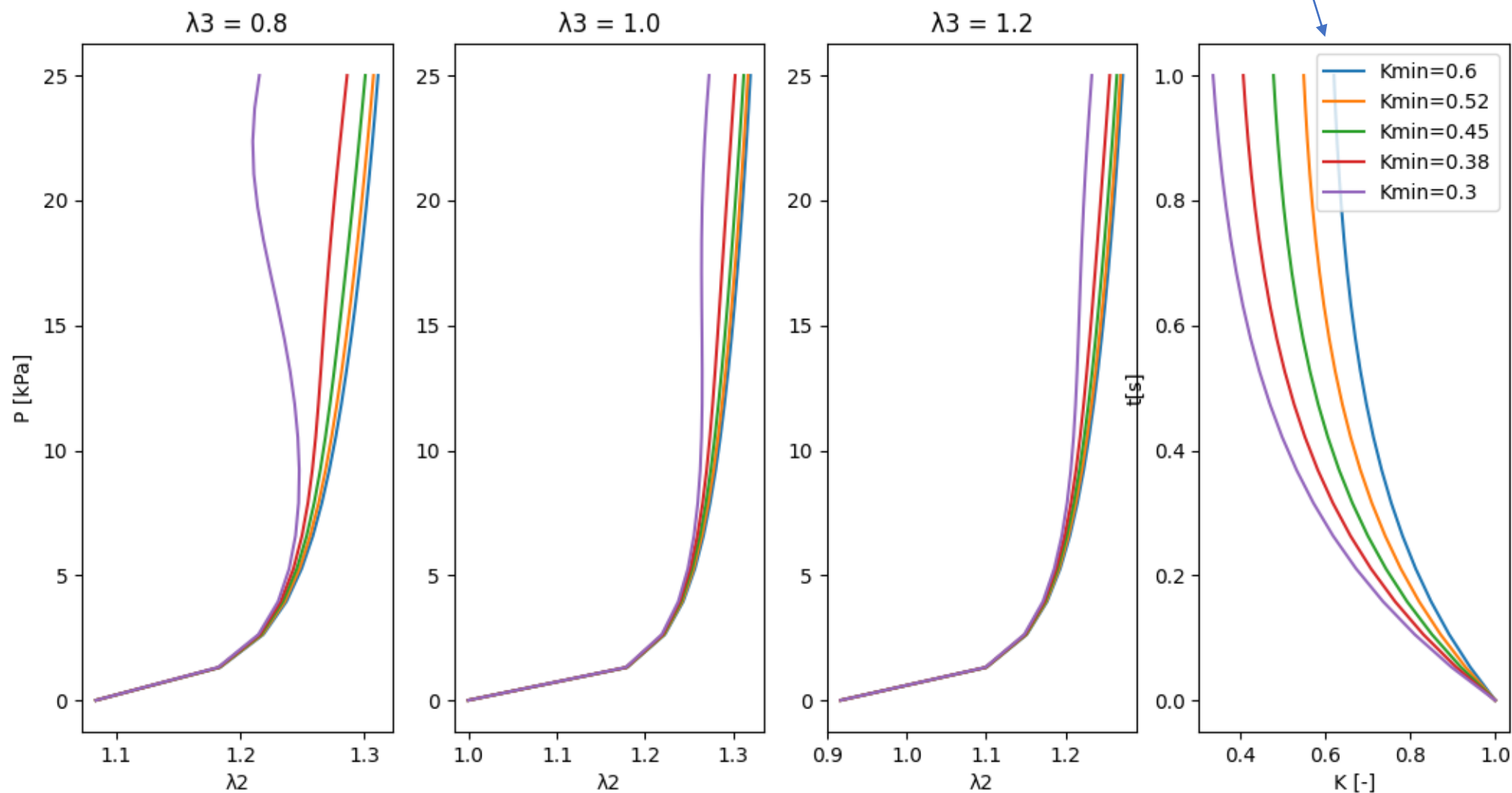
Tlakování od 0
do 25 kPa za 1s

$$\lambda_2 = \lambda_\theta$$

$$\lambda_3 = \lambda_z$$

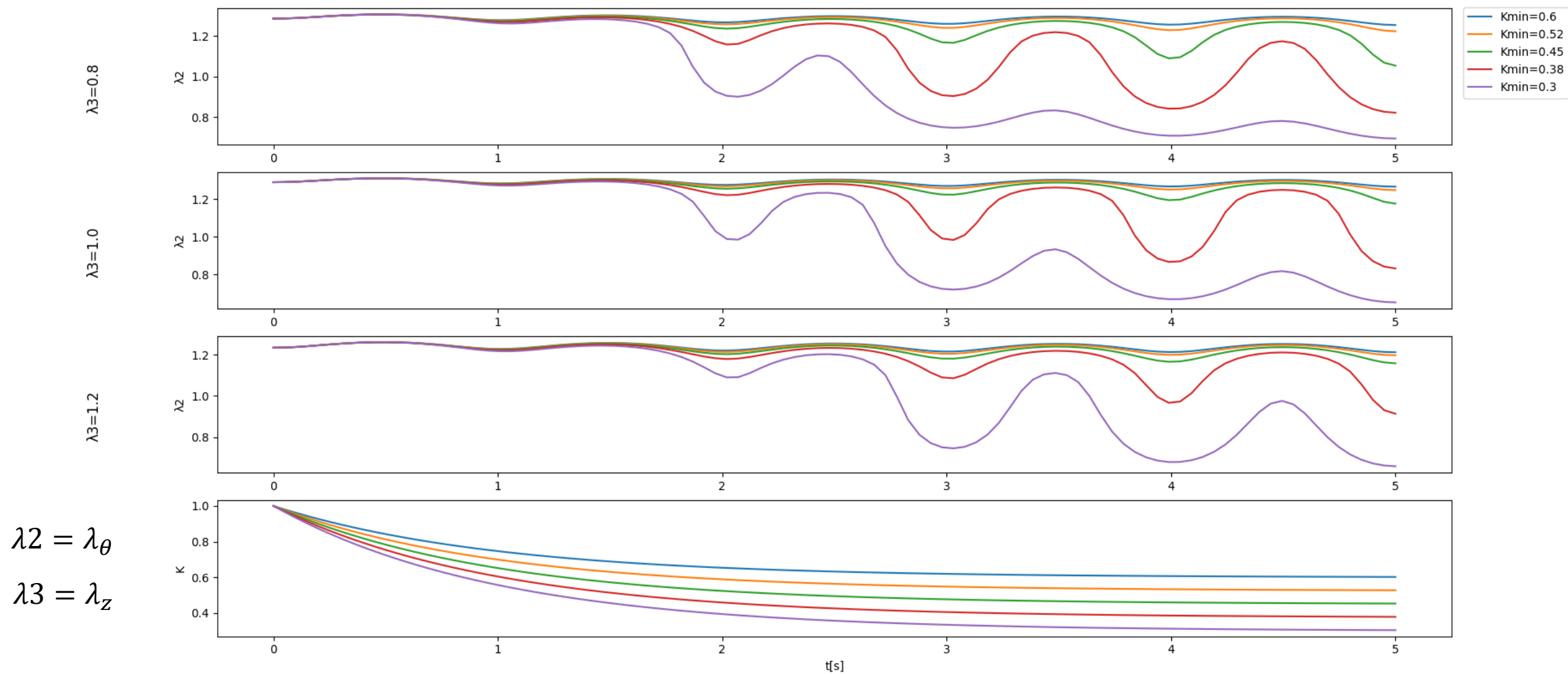
Tlakovani v case pro ruzna Kmin a predpeti λ_3 ($P=t/t_{max} \cdot 25$) [kPa]

$$K(t) = 1 - (1 - K_{min})(1 - e^{-\alpha t})$$



Harmonické tlakování (10-18kPa) za 5s

Tlakovani v case pro ruzna Kmin a predpeti λ_3 ($P=14+4*\sin(2\pi*t-\pi)$ [kPa], $\alpha=1$)



$$K(t) = 1 - (1 - K_{min})(1 - e^{-\alpha t})$$